

## مقایسه تفسیر لاغهای تصویرگر با مطالعه مغزهای در آشکارسازی شکستگی‌های مخازن نفتی (مطالعه موردنی مخزن آسماری میدان آغازاری)

معصومه وطن دوست<sup>۱</sup>، علی فرضی پورصائین<sup>۲\*</sup> و اسماعیل سالاروند<sup>۳</sup>

<sup>۱</sup> دانشجوی دکترای تکتونیک، گروه زمین‌شناسی، دانشکده علوم، دانشگاه شیراز

<sup>۲</sup> استادیار گروه زمین‌شناسی، دانشکده علوم، دانشگاه اصفهان

<sup>۳</sup> کارشناس ارشد تکتونیک، شرکت ملی مناطق نفت خیز جنوب

\*asaein@gmail.com

دریافت دی ۱۳۹۴، پذیرش اسفند ۱۳۹۴

### چکیده

سازند آسماری (الیگومیوسن) یکی از سنگ مخزن های اصلی جنوب غرب ایران با چندین دهه تاریخ تولید از میادین مختلف در کمربند چین و رانده زاگرس است. یکی از مهمترین دلایل کیفیت مخازن سازند آسماری وجود سیستم شکستگی‌های توسعه یافته در آن است. خصوصیاتی از شکستگی از قبیل نوع، باز شدگی و جهت، با تحلیل مغزه و تحلیل لاغهای تصویری قابل تعیین است. هدف این مطالعه بررسی توانایی لاغهای تصویرگر الکتریکی در آشکارسازی شکستگی و دیگر خصوصیات زمین‌شناسی در لایه های مخزنی مختلف سازند آسماری است. در این راستا، شکستگی‌ها و دیگر خصوصیات زمین‌شناسی در مغزه و لاغ تصویری چاه شماره ۸۹ میدان آغازاری تشخیص داده شده و سپس اقدام به مقایسه آن‌ها به منظور تعیین توانایی لاغ تصویری در مطالعه شکستگی شد. مقایسه مغزه‌های بدست آمده از چاه ۸۹ میدان آغازاری با لاغ تصویری این چاه نشان داد که آشکارسازی سطوح لایه بندی در مغزه نسبت به لاغ تصویری آسانتر و واقعی‌تر است. همچنین این مطالعه نشان داد که لاغ تصویری نسبت به مغزه در شناسایی شکستگی‌های باز تواناتر بوده در حالیکه برای شناسایی شکستگی‌های بسته (پرشده) مناسب نیست. لاغ تصویری ندرتا قادر به آشکارسازی شکستگی‌های برشی بوده ولی در صورتیکه با مغزه تطابق داده شود قادر به شناسایی شکستگی برشی با دقت مناسب خواهد بود.

**کلمات کلیدی:** زاگرس، مخزن آسماری، میدان آغازاری، لاغ تصویرگر، تحلیل مغزه.

## ۱. مقدمه

در مخازن شکافدار طبیعی، تولید هیدروکربن تا حد زیادی وابسته به شکستگی‌ها است (Nelson, 2001). لذا تعین خصوصیات شکستگی‌ها از جمله، نوع، امتداد، جهت شب و میزان بازشدنگی آن‌ها و یا بسته بودن و پر بودن آن‌ها توسط کانی‌های مختلف و ترسیم یک الگوی مناسب از شکستگی‌ها در جنبه‌های مختلف مدیریت و توسعه این مخازن حائز اهمیت فراوان است (Wennberg et al. 2007). تعداد زیادی مخازن شکافدار در جنوب غرب ایران وجود دارد. این منطقه در کمرنگ‌چین و رانده زاگرس، جاییکه تاقدیس‌ها تله‌های نفتی بیشماری را تشکیل داده‌اند، واقع شده است (Alavi, 2004) (شکل ۱). در این مخازن، تولید هیدروکربن وابسته به شکستگی‌ها بوده و شکستگی‌ها تراوایی مخزن را افزایش می‌دهند (McQuillan, 1985). سازند آسماری (کربناته الیگوموسن) مخزن اصلی جنوب غرب ایران و یکی از انواع مخازن شکافدار جهان است (Nelson, 2001).

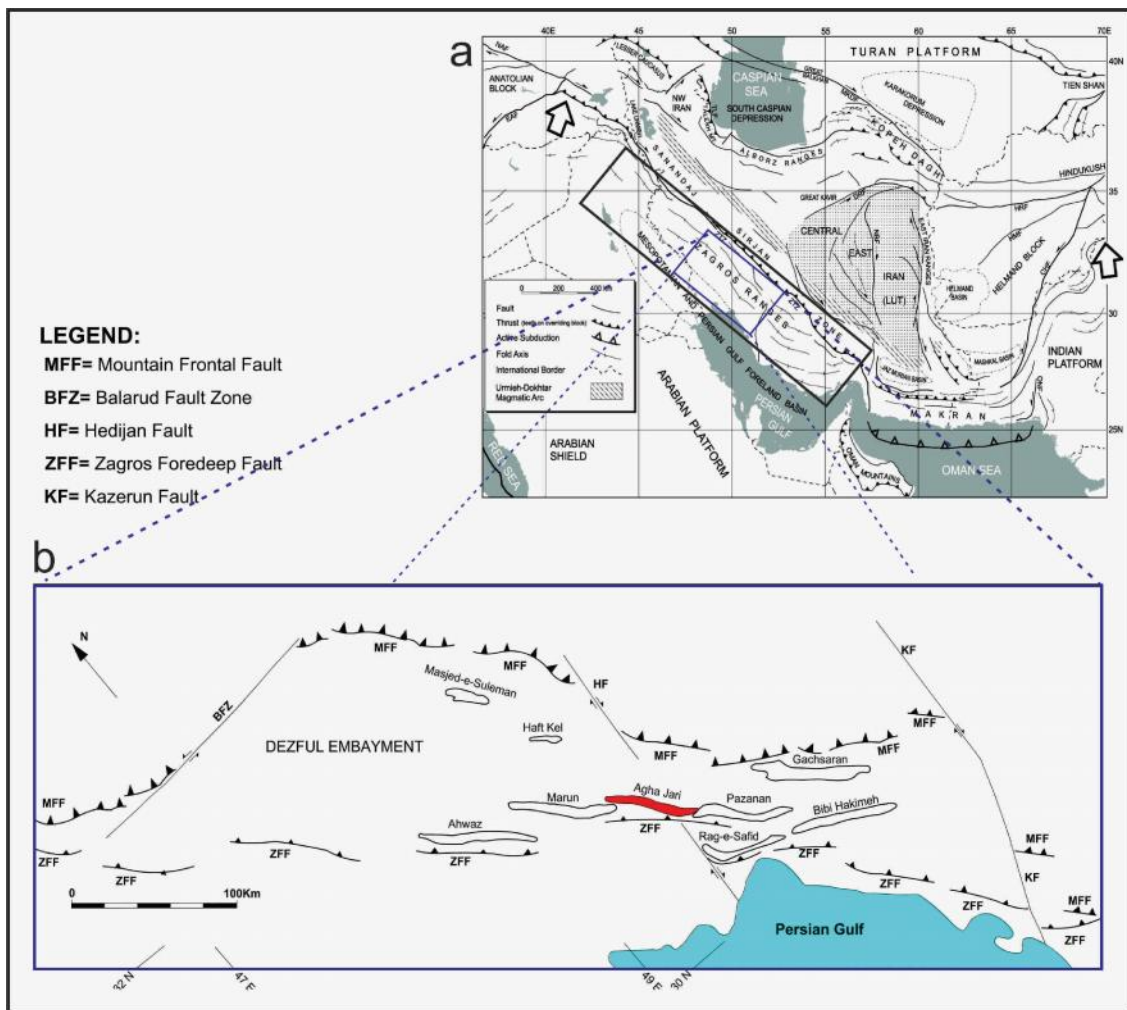
روش‌ها و اطلاعات مختلفی برای شناسایی شکستگی در مخازن وجود دارد (محبی و همکاران، ۱۳۸۹). مغزه منبع اصلی کسب اطلاعات شکستگی‌های کوچک مقیاس چاه است. معمولاً مغزه در تعداد محدودی از چاه‌های میدان در دسترس می‌باشد. بعلاوه، مغزه سه محدودیت بزرگ در مطالعه شکستگی دارد: هزینه بالا، بازیافت کم در فواصل شکسته و تغییر جهت مغزه در طی برداشت مغزه که در مقابل لاغهای تصویری این محدودیت‌ها را ندارند (Nelson, 2001). لاغهای تصویری، تصویری استوانه‌ای شکل و مجازی از دیواره چاه با قدرت تفکیک بالا هستند که قادرند پدیده‌های ظریف دیواره را نشان دهند. نتایج تفسیر تصاویر چاه بدون جداره، شناسایی کیفی و توصیف کمی لایه‌بندی، شکستگی‌ها، عوارض صفحه‌ای، سنگ‌شناسی و حفرات است (Kulander et al. 1990). تحلیل لاغ تصویری و مغزه بمنظور شناسایی شکستگی‌های مخزن آسماری بطور گسترده بکار رفته است (Khoshbakht et al., 2009; Mohammadian, 2008; Khoshbakht et al., 2009; Mohammadian, 2008; e.g., ۱۳۹۰). اگرچه تعدادی از مطالعات به مقایسه لاغ تصویری و مغزه چاه‌های مناطق زمین شناسی مختلف پرداخته اند (Akbar et al., 2003; Azer et al., 2003; Davatzes & Hickman., 2005; Paulsen et al., 2002)

لاغ تصویری و مغزه در جهت تخمین و مقایسه امتیازهای این دو روش نسبت به همیگر در سازند آسماری در دسترس است (Khoshbakht et al., 2012). میدان آغازگاری با ابعاد ۵۶ کیلومتر طول و ۶ کیلومتر عرض در فروافتادگی دزفول و در حدود ۹۰ کیلومتری جنوب شرقی شهر اهواز قرار گرفته است (شکل ۱). مخزن آسماری در این میدان متشکل از سنگ آهک در بخش پایینی و دولومیت در بخش بالایی می‌باشد و برخلاف تخلخل و نفوذپذیری کم زمینه نرخ تولید در این مخزن بالاست. تولید بالای چاه‌های مخزن نشان‌دهنده حضور سیستم شکستگی‌های توسعه یافته در آن می‌باشد (Barker & Speers, 1977). آگاهی و شناخت از الگوها و نحوه توزیع شکستگی‌ها در هر میدان امکان طراحی صحیح مکان‌های حفاری چاه‌ها بمنظور حداکثر افزایش تولید و بهره‌وری از مخزن و کاهش هزینه‌ها را فراهم خواهد ساخت.

روش‌ها و اطلاعات مختلفی برای شناسایی شکستگی در مخازن وجود دارد، مغزه، لاغ تصویری، آزمایش چاه، فلومتر، برداشت‌های حرارتی یا ترمال، داده‌های فشار، داده‌های تولید، هرزروی گل حفاری، داده‌های سایزمهیک از آن جمله‌اند. مغزه منبع اصلی کسب اطلاعات از شکستگی‌های کوچک مقیاس چاه است. معمولاً مغزه در تعداد محدودی از چاه‌های میدان در دسترس می‌باشد. بعلاوه، مغزه سه محدودیت بزرگ در مطالعه شکستگی دارد: هزینه بالا، بازیافت کم در فواصل شکسته و تغییر جهت مغزه در طی برداشت مغزه که در مقابل لاغهای تصویری این محدودیت‌ها را ندارند. زمانیکه مغزه در دسترس

باشد عوارض شناسایی شده بر روی تصاویر حاصل از نمودار می‌توانند با آن تطابق داده شوند و زمانیکه مغزه موجود نباشد این تصاویر بعنوان یک جایگزین به کار می‌روند.

در این مطالعه، شکستگی‌ها و دیگر خصوصیات زمین شناختی در مغزه و لاغ تصویری چاه ۸۹ میدان آغازاری تشخیص داده شده و سپس به مقایسه آنها به منظور تعیین توانایی لاغ تصویری در مطالعه شکستگی می‌پردازیم. بعبارت دیگر اطمینان داده‌های بدست آمده از لاغ‌های تصویری در مدلسازی شکستگی‌ها تعیین می‌شود.



شکل ۱) (a) نقشه زمین شناسی ساختاری ایران (Alavi, 1991) و موقعیت کمربند چین خورده و رانده زاگرس (b) موقعیت میدان نفتی آغازاری در فروافتادگی دزفول.

## ۲. روش تحقیق

داده‌های اولیه برای انجام این مطالعه، شامل یک لاغ تصویری و مغزه‌های چاه شماره ۸۹ میدان آغازاری است (شکل ۲). چاه ۸۹ میدان آغازاری تنها چاه دارای مغزه در سازند آسماری بوده که مغزه‌های بدست آمده از آن ورقه ورقه نشده و جهت‌دار نیز نمی‌باشد. با این وجود با توجه به امتداد و شیب لایه‌بندی در هر چاه و با توجه به موقعیت آن چاه بر روی نقشه‌های تراز ساختمانی که شیب و امتداد لایه‌بندی را مشخص می‌کند، این امکان وجود دارد که با تشخیص صفحه‌های لایه‌بندی در هر مغزه آن را جهت‌دار نمود. به منظور جلوگیری از هرگونه تاثیر پارامترهای مختلف بر روی الگو و توزیع شکستگی‌ها (از جمله عمق، ضخامت و رخساره رسوبی، مکان هندسی لایه‌های رسوبی شکافدار در میدان و ....)، فواصل مشابه از مغزه و لاغ تصویری

در چاه ۸۹ میدان آگاجاری مورد مطالعه قرار گرفت (عمق  $\frac{2}{3}$ -۲۶۱۲/۵-۲۵۴۱/۵ متر) (شکل ۲). در این فاصله عمقی به تفسیر شکستگی های باز و بسته (پرشده) و لایه بندی در لاغ تصویری و مغزه های هم عمق با آن پرداخته شد. با استفاده از سی تی اسکن مغزه (اشعه گاما)، مغزه ها با لاغ تصویری مربوطه هم عمق شدند. سبیس داده های بدست آمده از تعداد شکستگی ها و لایه بندی و همچنین موقعیت آنها با استفاده از نرم افزار پردازش شده و نهایتاً بصورت نمودارهای گلسرخی و تراکم خروجی گرفته شد.

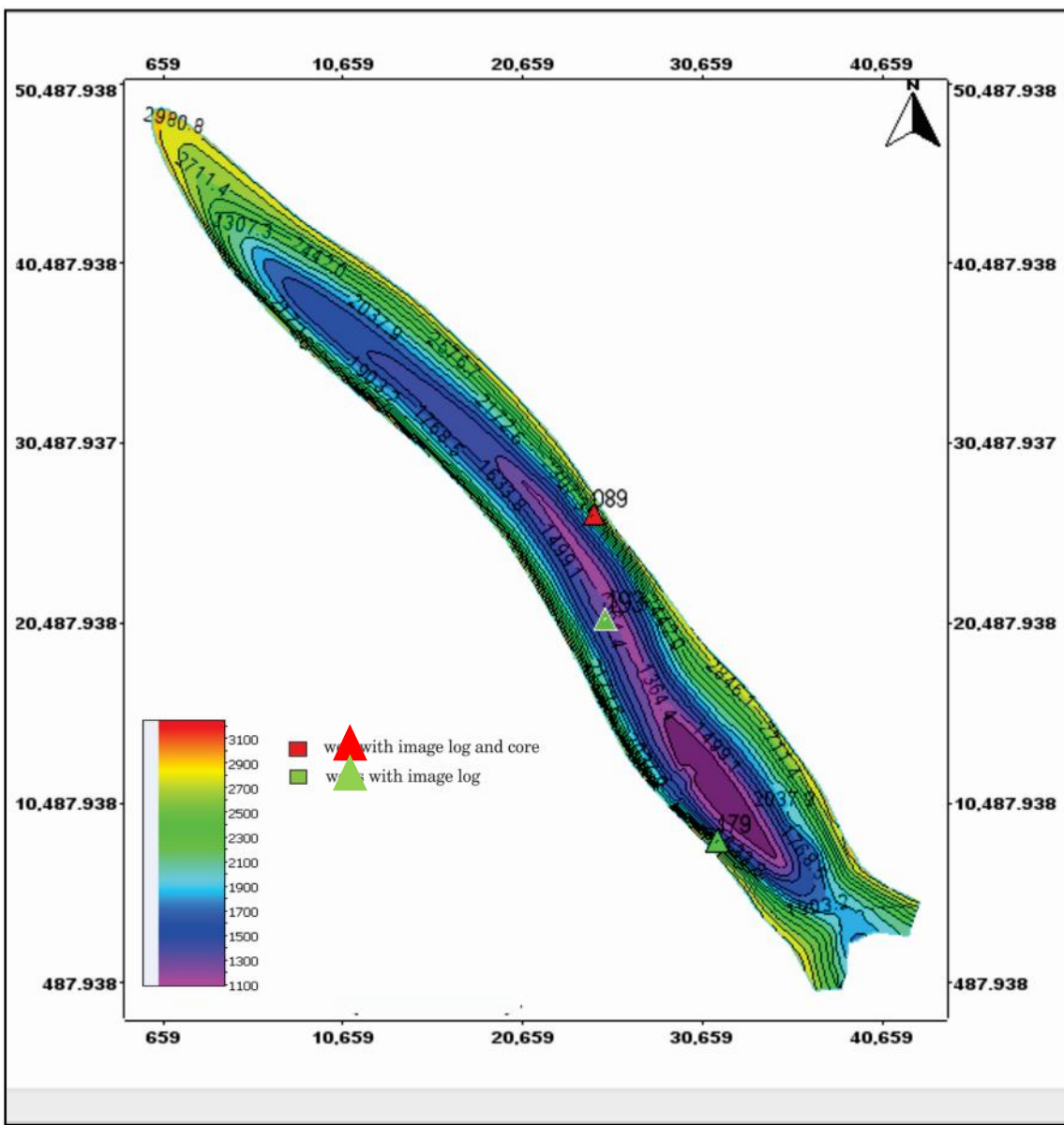
## ۲. ۱ چارچوب زمین شناسی

جدایش ورقه عربی از آفریقا و برخورد آن به اوراسیا آخرین مرحله از سری وقایع جدایش-برخورد بوده، که همه آن ها منجر به ایجاد سیستم کوهزایی آلپ-هیمالیا شده است (Dewey et al., 1973; Sengor, 1984). کمریند چین و رانده زاگرس بعنوان بخشی از این سیستم از شمال غرب توسط گسل امتداد لغز چب بر آناتولی و از جنوب شرق با خط عمان محصور شده است (Falcon, 1969).

کمریند چین و رانده زاگرس بر اساس تاریخچه رسویی و سبک ساختاری به چندین زون تقسیم شده است (Berberian & King, 1981; Falcon, 1974; Stocklin, 1968). از شمال شرق تا جنوب غرب، کمریند زاگرس در شمال شرق توسط گسل معکوس اصلی زاگرس و گسل جدید اصلی زاگرس محصور شده است. به سمت جنوب غرب، زون زاگرس مرتفع، حاوی قطعات فلسفی حاشیه ورقه عربی و قطعاتی از افیولیت های کرتاسه است (Alavi, 1994; Berberian, 1995). دومین زون ساختاری اصلی زون چین خورده ساده است که شامل منطقه مطالعه ما نیز می باشد و توسط گسل جبهه کوهستان در جنوب محصور می شود (Berberian, 1995). بعلاوه، کمریند چین و رانده زاگرس بر اساس رخساره های رسویی و سبک ساختاری مختلف و در جهت عمود بر امتداد کمریند به واحد های کوچکتری تقسیم می شود، لرستان، زون ایده، فروافتادگی دزفول، دشت آبادان، ایالت فارس، زون تراستی، هیتلند بندربعباس (مطیعی، ۱۳۷۴) (Sotodehnia, 1978).

یکی از مهم ترین زون های کمریند چین و رانده زاگرس، فروافتادگی دزفول است. فروافتادگی دزفول یک گودی است که در میوسن پیشین در قسمت جلویی زون ایده توسعه پیدا کرده است (Kazemi, 2009). فرونشست آن مربوط به توسعه پیش گودال زاگرس است. بخش غربی این زون خمش بالارود و بخش شرقی آن گسل کازرون است (Abdollahi et al. 2006).

میدان آگاجاری یکی از میدان های بزرگ نفتی است که در فروافتادگی دزفول قرار گرفته است (شکل ۱). تاقدیس بصورت نامتقارن با جهت گیری محور شمال غرب-جنوب شرق است. یال جنوبی با شیب ۷۰ درجه پرشیب تراز یال شمالی با شیب ۳۰ درجه است. مخزن آسماری میدان آگاجاری با حفر چاه شماره ۲ در سال ۱۹۳۶ کشف شد. سازند آسماری از سنگ مخزن های اصلی جنوب غرب ایران بوده و علیرغم تخلخل و تراوایی کم زمینه در این مخزن، میزان تولید آن بخاطر توسعه شکستگی ها بالاست (Kazemi, 2009). تولید بالای چاه های مخزن نشان دهنده حضور سیستم شکستگی های توسعه یافته در آن است (Barker & Speers, 1977).



شکل ۲) موقعیت چاه مورد مطالعه(۸۹) بر روی نقشه منحنی های تراز زیرزمینی راس سازند آسماری. مختصات نقشه در سیستم متریک میباشد.

## ۲.۲ تحلیل شکستگی ها

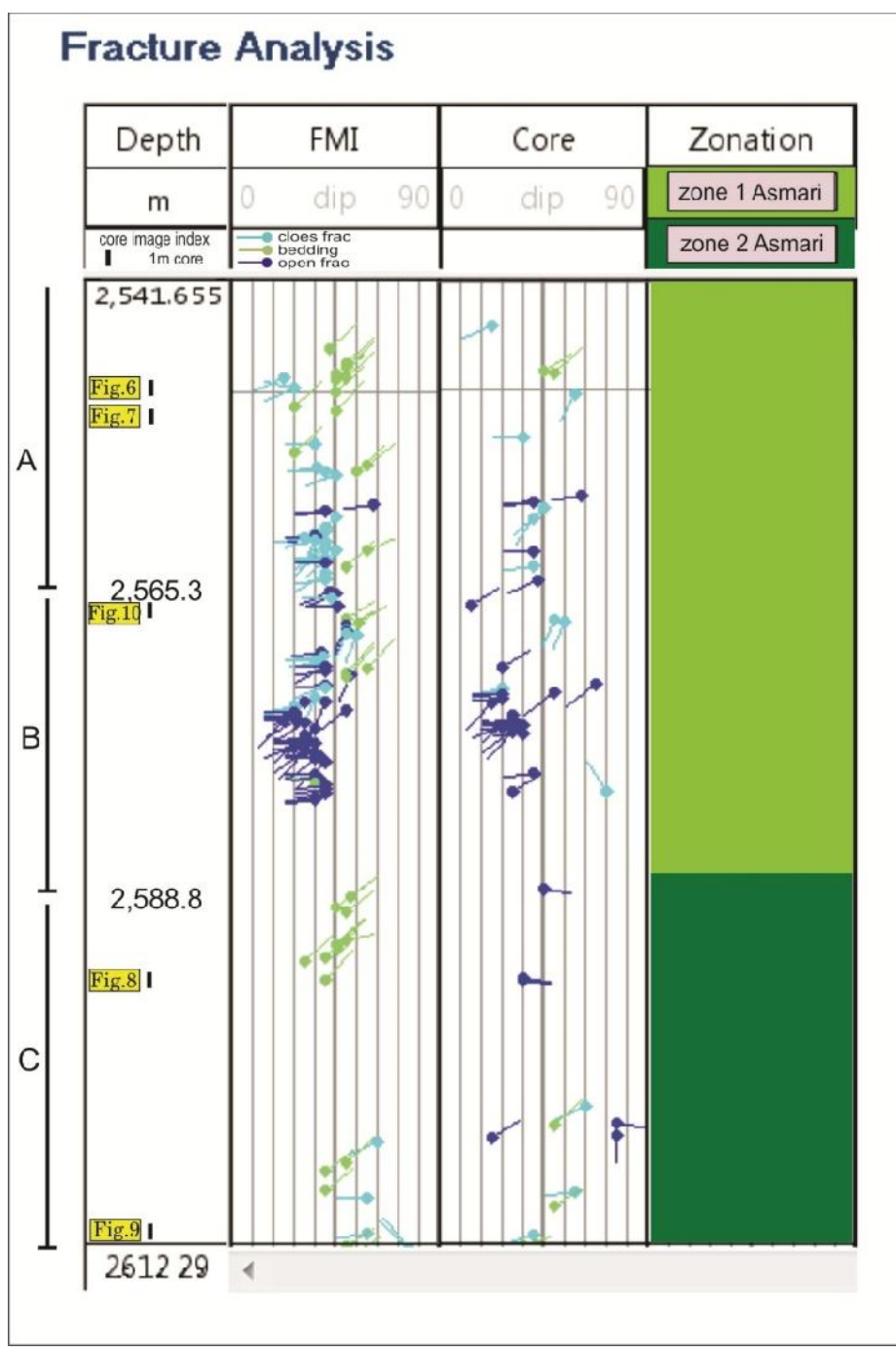
### ۲.۲.۱ بررسی و مطالعه مغزه

مغزه های چاه ۸۹ در آزمایشگاه مغزه شرکت ملی مناطق نفتخیز جنوب مورد بررسی قرار گرفت. مغزه ها جهت یافته نبوده و با استفاده از جهت یابی لایه ها در چاه و موقعیت چاه در نقشه منحنی های تراز زیرزمینی، جهت گیری مغزه تعیین شد. از عمق ۲۵۴۱/۵ تا ۲۶۱۲/۳ متر از مخزن آسماری، جهت یابی هندسی همه لایه های رسوبی و شکستگی ها از بالا تا پایین مغزه تعیین شد (شکل ۳). شکستگی های مغزه تحلیل شده و در نهایت همه خصوصیات در سه دسته تقسیم بندی شدند: سطوح لایه بندی، شکستگی های باز و شکستگی های بسته (شکستگی های پر شده با مواد حاصل از دیاژنز، (Nelson, 2001).

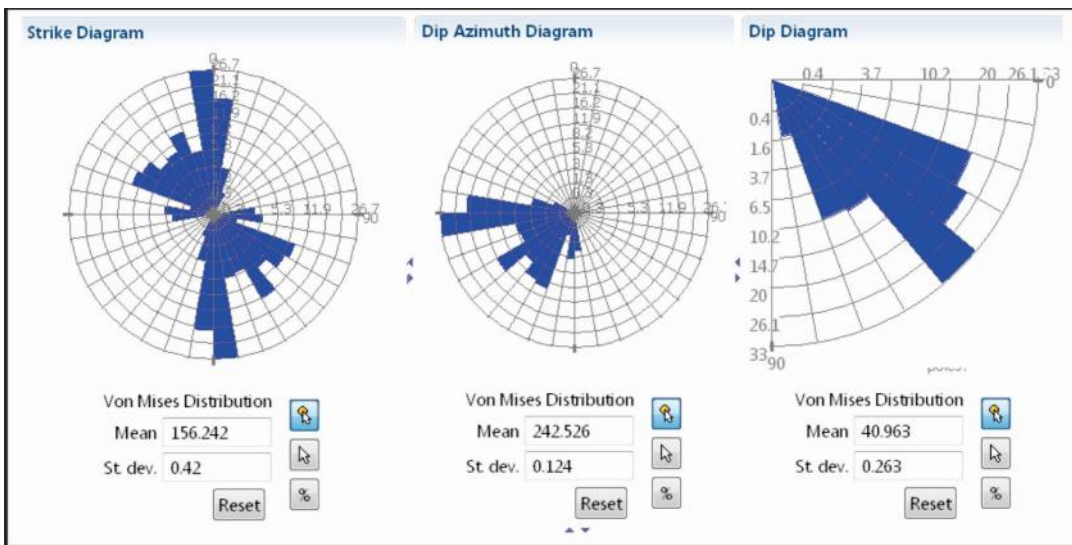
شکل ۳، نشان می دهد که در بخش بالایی فاصله عمقی ۲۵۴۱/۵ تا ۲۶۱۲/۳ متر، تراکم شکستگی های بسته از شکستگی های باز و سطوح لایه بندی بیشتر است. شکستگی های باز در بخش پایینی این محدوده تجمع یافته اند. از عمق ۲۵۸۸/۸ تا ۲۵۶۵/۳ متر

تراکم شکستگی‌های باز در بخش مرکزی بیشتر است. دو شکستگی بسته در بخش بالای این فاصله وجود دارد (شکل ۳). از عمق ۲۵۸۸/۸ تا ۲۶۱۲/۳ متر، یک شکستگی باز در بخش بالای و ۳ شکستگی باز در بخش پایینی دیده شد و همچنین شکستگی‌های بسته و سطوح لایه‌بندی در بخش پایینی این فاصله متتمرکز شده‌اند. تراکم شکستگی‌ها در این فاصله از فواصل دیگر کمتر است.

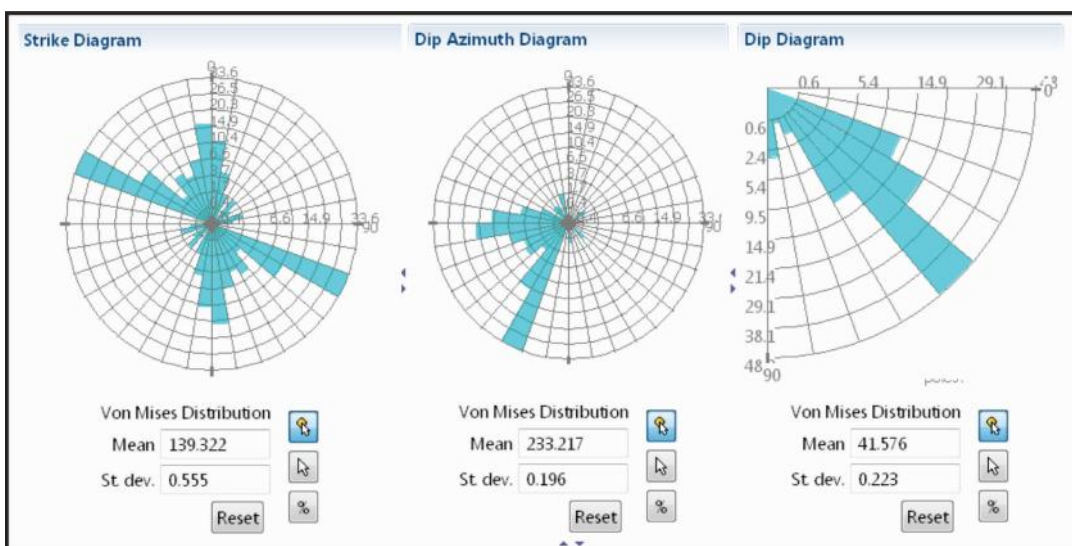
در کل تعداد ۷۲ شکستگی بسته، ۶۸ شکستگی باز و ۲۳ سطح لایه‌بندی در مغزه مشاهده شد (شکل ۳). جهت‌گیری شکستگی‌های باز در مغزه برابر با ۱۷۰ تا ۱۸۰ درجه و متوسط شیب این شکستگی‌ها ۴۱ درجه به سمت جنوب غرب است (شکل ۴). جهت‌یابی شکستگی‌های بسته در مغزه ۱۱۰ تا ۱۲۰ درجه و متوسط شیب آنها ۴۲ درجه به سمت جنوب غرب است (شکل ۵).



شکل ۳) مقایسه توزیع شکستگی‌ها با عمق در مخزن آسماری بر پایه لاغ تصویری و مغزه.



شکل ۴) نمودار گلسرخی شکستنگی های باز در مغزه، چاه شماره ۸۹ مخزن آسماری میدان آگاجاری. به ترتیب از چپ به راست نمودار مربوط به امتداد، نمودار مربوط به آزمیوت سمت شبی و نمودار مقدار شبی است.

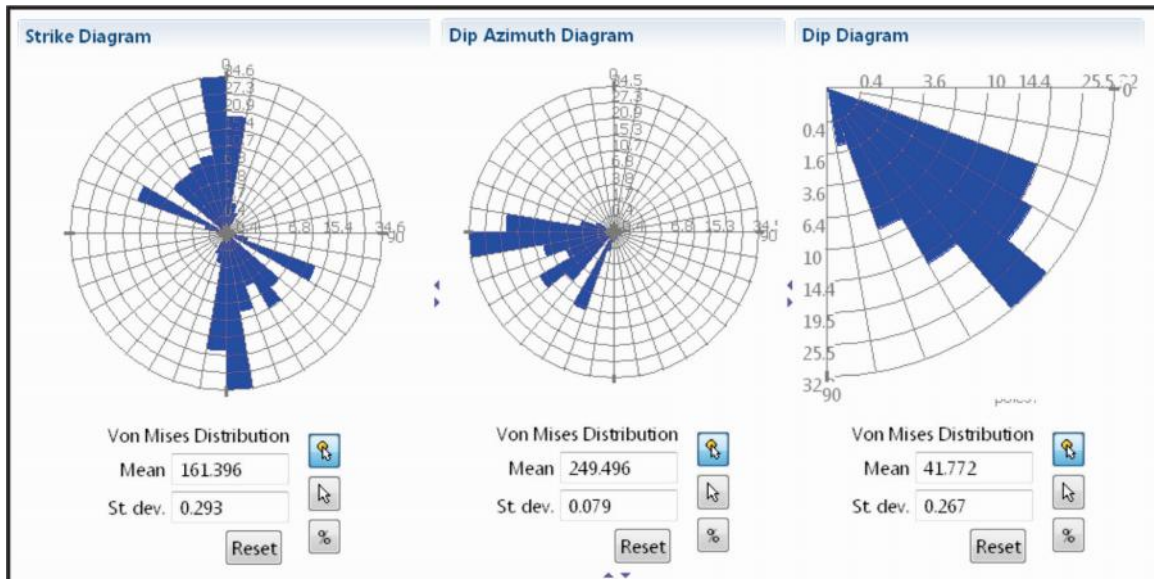


شکل ۵) نمودار گلسربخی شکستگی های بسته در مغزه، چاه شماره ۸۹ مخزن آسماری میدان آخجاری. به ترتیب از چپ به راست نمودار مریوط به امداد، نمودار مریوط به آزمیوت سمت شب و نمودار مقدار شب است.

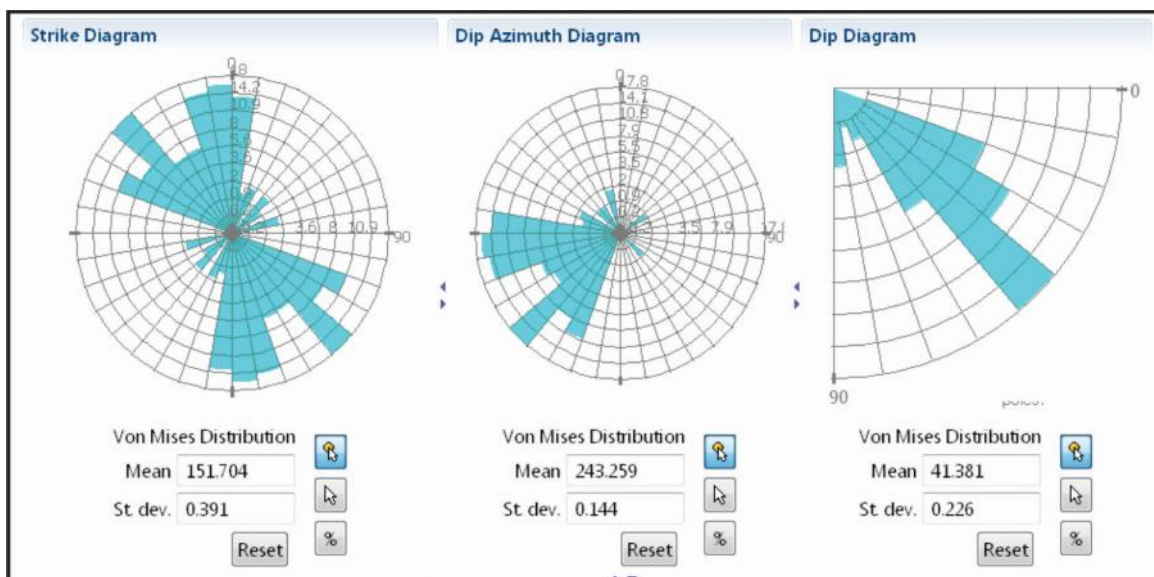
## ۲.۲. ترسی و مطالعه لاغ تصویری:

با استفاده از لاغ تصویری در چاه ۸۹ میدان آگاجاری نیز به بررسی شکستگی ها و لایه بندی پرداخته شد. همانطور که در شکل ۳ نشان داده شده است از عمق  $\frac{2541}{8}$  تا  $\frac{2565}{3}$  متر، ابتدا سطوح لایه بندی و سپس شکستگی های باز و بسته آشکار شده اند. در بخش پایینی این فاصله مرکز بالایی از شکستگی های باز و بسته وجود دارد (شکل ۳). از عمق  $\frac{2588}{8}$  تا  $\frac{2565}{3}$  متر، تراکم شکستگی های باز در بخش مرکزی این فاصله بالاتر از فواصل دیگر است و تعدادی شکستگی بسته در بخش بالایی این فاصله تمرکز یافته است (شکل ۳). از عمق  $\frac{288}{8}$  تا  $\frac{2612}{3}$  متر، مرکز بالایی از سطوح لایه بندی در بخش بالایی و همچنین تمرکز پایینی از سطوح لایه بندی و شکستگی های بسته در بخش پایینی مشاهده می شود (شکل ۳). در مجموع تعداد شکستگی بسته، ۹۹ شکستگی باز و ۸۴ سطح لایه بندی در لاغ تصویری مشاهده شد (شکل ۳). جهت گیری شکستگی های باز در لاغ تصویری برابر با  $170$  تا  $180$  درجه و متوسط شیب آن  $41$  درجه به سمت جنوب غرب است (شکل ۶). جهت

گیری شکستگی‌های بسته در لگ تصویری برابر با  $130^{\circ}$  تا  $140^{\circ}$  درجه و متوسط شیب آن  $42^{\circ}$  درجه به سمت جنوب غرب می‌باشد (شکل ۷).



شکل ۶) نمودار گلسرخی شکستگی‌های باز در لگ تصویری، چاه شماره ۸۹ مخزن آسماری میدان آغازگاری. به ترتیب از چپ به راست نمودار مربوط به امتداد، نمودار مربوط به آزیموت سمت شیب و نمودار مقدار شیب است.



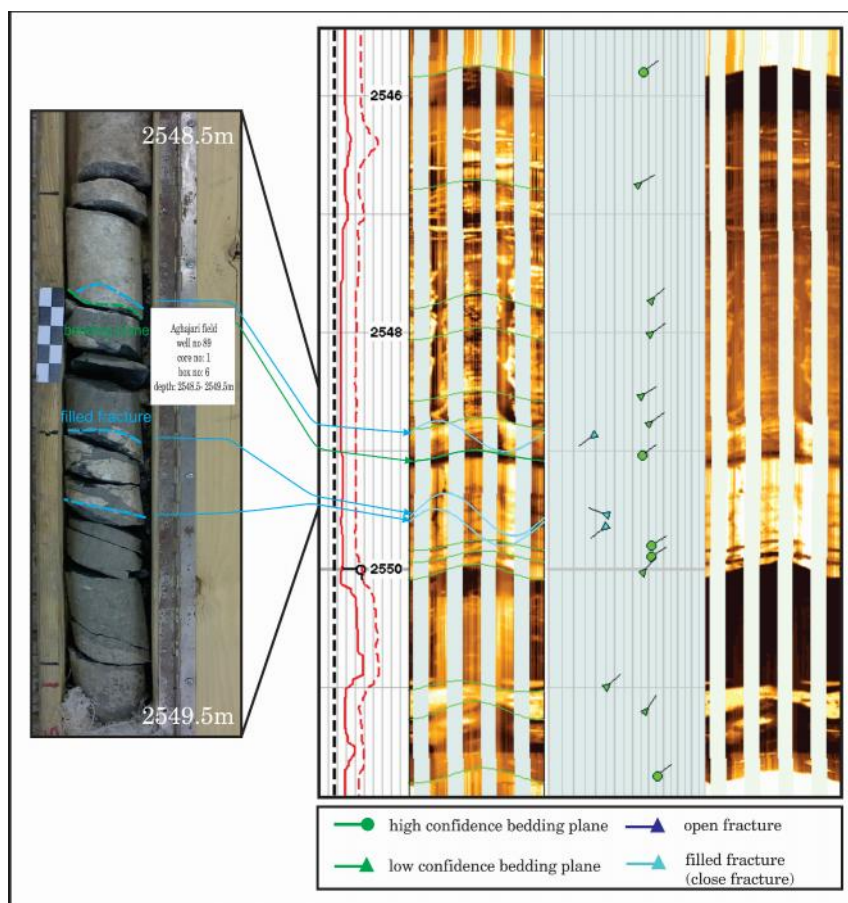
شکل ۷) نمودار گلسرخی شکستگی‌های باز در لگ تصویری، چاه شماره ۸۹ مخزن آسماری میدان آغازگاری. به ترتیب از چپ به راست نمودار مربوط به امتداد، نمودار مربوط به آزیموت سمت شیب و نمودار مقدار شیب است.

### ۳. بحث

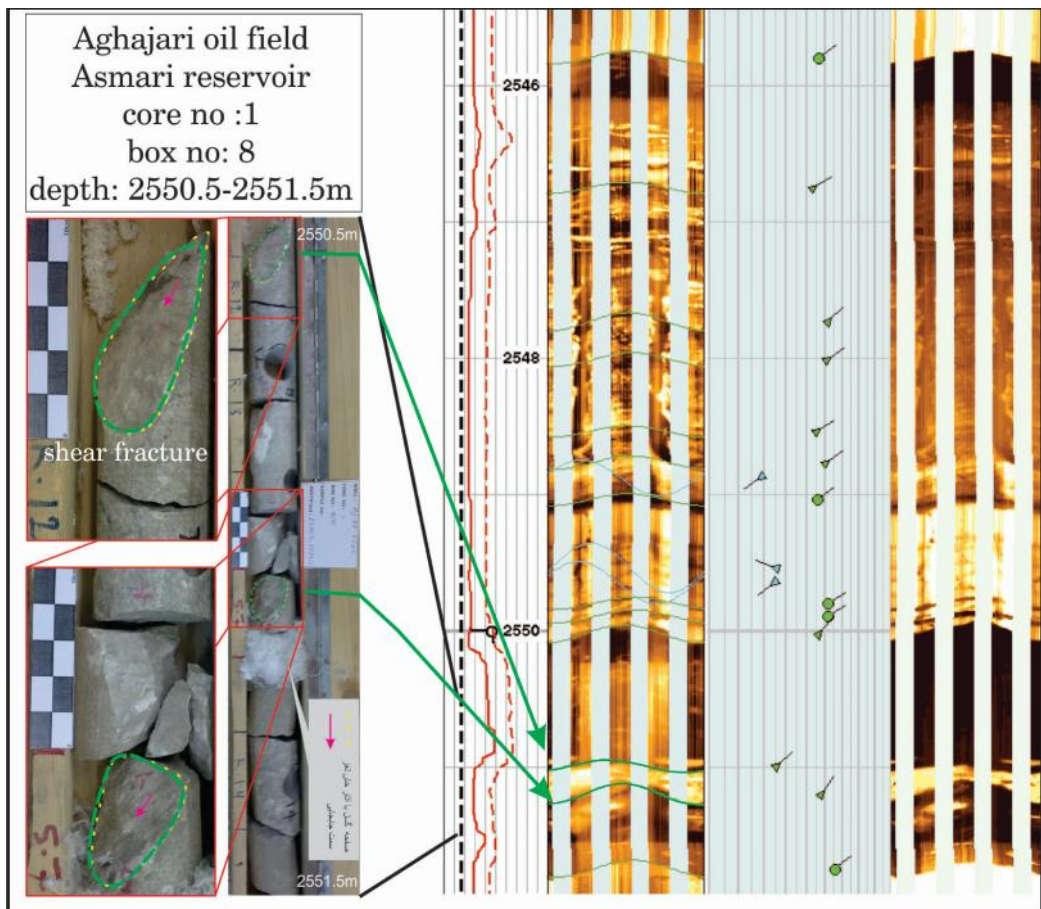
در این مطالعه، به بررسی شکستگی‌های باز، شکستگی‌های سطوح لایه بندی در مغزه و لگ تصویری در چاه ۸۹ مخزن آسماری میدان آغازگاری و مقایسه آن‌ها با همدیگر پرداخته شد. شکل ۳ نتایج این بررسی را نشان می‌دهد. شکستگی‌های باز در لگ تصویری به شکل منحنی‌های سینوسی با رنگ آبی تیره، شکستگی‌های باز در سطوح لایه بندی به ترتیب با منحنی‌های

آبی روشن و سبز رنگ نشان داده شده اند (شکل ۸). در ادامه نتایج حاصل از مقایسه تحلیل شکستگی و لایه‌بندی در لاغ تصویری و مغزه ذکر شده است:

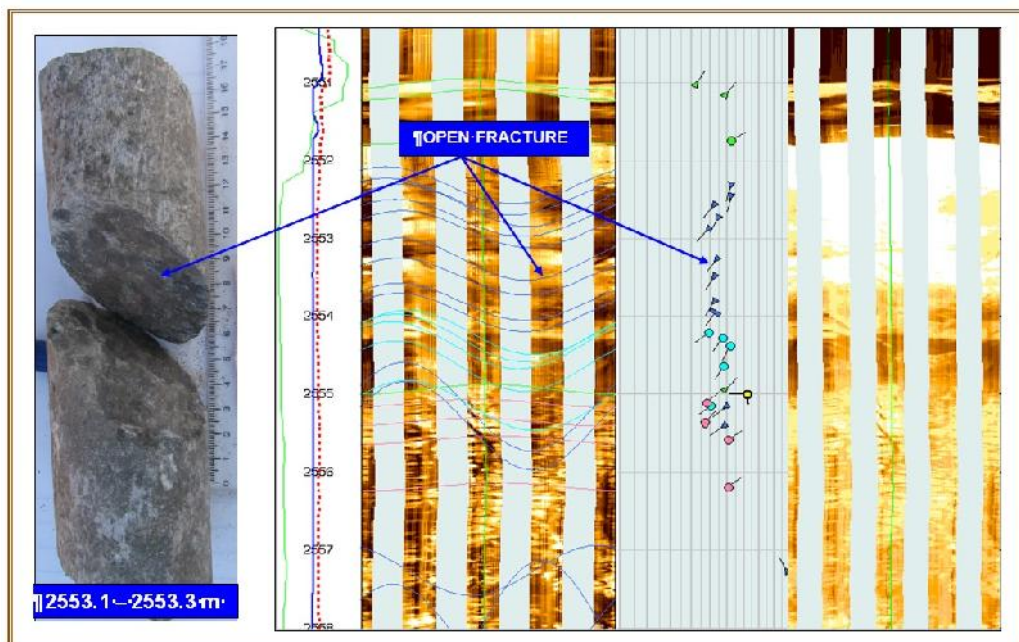
سطوح لایه‌بندی در لاغ تصویری (۲۳ لایه‌بندی) و مغزه (۸۴ لایه‌بندی) تطابق ضعیفی با هم نشان می‌دهند و تعداد سطوح لایه‌بندی آشکار شده در لاغ تصویری بیشتر از تعداد اندازه گیری شده در مغزه می‌باشد (شکل ۳). این عدم تطابق به این معنی است که در مغزه و لاغ تصویری دو نوع مختلف مرز لایه‌بندی تشخیص داده می‌شود. در مغزه هر تغییر واضحی در خصوصیات نظیر لیتوژئی، رنگ، بافت و مقدار شیل نشان‌دهنده مرز لایه‌بندی است ولی در لاغ تصویری، هر تغییر واضحی در خصوصیات الکتریکی دو لایه مجاور تشکیل یک مرز لایه‌بندی را می‌دهد (Sheridan et al., 2003). بطور مثال دولومیت و آهک مقاومت الکتریکی تقریباً مشابهی داشته و ممکن است در لاغ تصویرگر بعنوان یک لایه نمایان شوند در صورتیکه بر اساس اختلاف رنگ و واکنش با اسید و ... در نمونه طبیعی (در مغزه) میتوان این دو را از یکدیگر تفکیک کرد. شکل ۸، یک نمونه از سطح لایه‌بندی را نشان می‌دهد که در مغزه و لاغ تصویری آشکار شده است. قابل ذکر است که هر تغییر مشخصی که در لاغ تصویری بعنوان لایه‌بندی به شمار می‌رود، لزوماً نشان‌دهنده یک سطح لایه‌بندی واقعی نبوده و ممکن است که مربوط به شکستگی‌های برشی باشد که بر پایه لاغ تصویری نمیتوانند مشخص شود (شکل ۹). بخاراً اینکه در شکستگی‌های برشی جابجایی در مقیاس میلیمتر تا سانتیمتر بموازات سطح شکستگی اتفاق افتاده و هیچگونه بازشدگی عمود بر دیواره‌های سطح شکستگی دیده نمی‌شود. بنابراین شکستگی‌های برشی به آسانی در لاغ تصویری قابل شناسایی نبوده ولی در مغزه به راحتی شناسایی می‌شوند (شکل ۱۰) که خود این مساله نیز میتواند دلیلی بر زیادتر بودن تعداد لایه‌بندی اندازه گیری شده در لاغ تصویری نسبت به مغزه باشد.



شکل ۸) مقایسه بین لاغ تصویری و مغزه در چاه ۸۹ مخزن آسماری میدان آگاجاری. سطوح لایه‌بندی، و گرهک انھیدریتی در مغزه که بعنوان شکستگی پر شده با انھیدریت در لاغ تصویری نمایان شده است.



شکل ۹) مقایسه بین مغزه و لاغ تصویری در چاه ۸۹ ، مخزن آسماری میدان آغاجاری. شکستگی های برشی بصورت سطوح لایه بندی در لاغ تصویری آشکار شده اند. tadpole های به رنگ سبز در لاغ تصویری نشان دهنده سطوح لایه بندی و به رنگ آبی روشن نشانده‌نده شکستگی های بسته می باشند.



شکل ۱۰) مقایسه لاغ تصویری و مغزه چاه ۸۹، مخزن آسماری میدان آغاجاری. شکستگی های باز که در مغزه و لاغ تصویری آشکار شده اند. tadpole های با رنگ سورمه ای نشان دهنده شکستگی های باز، tadpole های به رنگ آبی فیروزه ای نشانده‌نده شکستگی های غیرقابل هدایت و رنگ صورتی نشانده‌نده درزهای قابل هدایت است.

در لاغ تصویری شکستگی های بسته (پر شده) وقتی آشکار می شوند که با مواد ثانویه با مقاومت الکتریکی مختلف پر شوند(Sheridan et al., 2003). مقایسه بین لاغ تصویری و مغزه نشان داد که تعداد شکستگی های بسته (پر شده) که در مغزه شناسایی شدن (۹۲ شکستگی) بیشتر از آن هایی است که در لاغ تصویری تفسیر شدن (۷۲ شکستگی). لاغ تصویری قادر به آشکارسازی شکستگی های پر شده با انھیدریت است بخاطر اختلاف مقاومت الکتریکی بالای انھیدریت با سنگ میزان (Davatzes & Hickman, 2005). بطور مثال همانطور که در شکل ۸ مشاهده می شود گرهک انھیدریتی در مغزه بصورت شکستگی پر شده با انھیدریت (شکستگی بسته) سازند آسماری متشکل از آهک و دولومیت بوده و شکستگی های نیز معمولاً با انھیدریت پرشده اند. عدم تطابق بین تعداد شکستگی های بسته در مغزه و لاغ تصویری میتواند نشان دهنده این باشد که بعضی از شکستگی های پر شده در مخزن آسماری با مواد با اختلاف مقاومت الکتریکی پایین نسبت به سنگ میزان پر شده اند (مانند کلسیت). با توجه به تعداد شکستگی های باز در مغزه (۶۸ شکستگی) و لاغ تصویری (۹۲ شکستگی)، تعداد شکستگی های باز در لاغ تصویری بیشتر از مغزه است که دلیل آن بازیافت کم مغزه در فواصل شکسته مخزن می باشد. تحلیل جهت یابی شکستگی ها در مغزه و لاغ تصویری نشان داد که جهت گیری شکستگی های در مغزه و لاغ تصویری تطابق خوبی داشته و جهت گیری شکستگی های باز در مغزه برابر با ۱۷۰ درجه (شکل ۴) و در لاغ تصویری برابر با ۱۷۰ تا ۱۸۰ درجه است (شکل ۶). متوسط شیب این شکستگی ها ۴۲ درجه به سمت جنوب غرب در مغزه و لاغ است (اشکال ۵ و ۷). همچنین جهت یابی شکستگی های باز و بسته در مغزه پراکندگی بیشتری نسبت به لاغ تصویری نشان میدهد که به دلیل بازیافت مغزه بصورت قطعات شکسته است.

#### ۴. نتیجه گیری

مقایسه بین نتایج حاصل از تحلیل شکستگی و لایه بندی در مغزه و لاغ تصویری نشان داد که تشخیص سطوح لایه بندی در مغزه آسانتر و واقعی تر از لاغ تصویری است. بدلیل بازیافت کم مغزه در فواصل شکسته، تعداد کل شکستگی های باز آشکار شده توسط لاغ تصویری بیشتر از مغزه می باشد، بنابراین لاغ تصویری برای شناسایی شکستگی های باز مناسب تر از مغزه است، البته بیشتر در موقعی که اطلاعات مناسبی از مغزه در دسترس نباشد. تعداد شکستگی های بسته (پر شده) شناسایی شده با مغزه بیشتر از لاغ تصویری است، بخاطر اینکه لاغ تصویری تنها قادر به آشکارسازی شکستگی های بسته با موادی با اختلاف مقاومت الکتریکی بالا با سنگ میزان است، بنابراین مغزه در شناسایی شکستگی های بسته مناسب تر است. لاغ تصویری ندرتا قادر به شناسایی شکستگی های برشی است، اما اگر با مغزه تطابق داده شود، قادر به شناسایی شکستگی های برشی با دقت مناسبی خواهد بود. جهت گیری شکستگی های در مغزه در تطابق خوبی با لاغ تصویری است اگرچه در یک نگاه کلی جهت شکستگی های در پراکندگی بیشتری نسبت به لاغ نشان می دهند که این امر می تواند ناشی از خطاهای احتمالی در توجیه جهت مغزه های بخش هایی بعلت خرد شدگی زیاد مغزه قطعه قطعه می باشد. بصورت کلی میتوان نتیجه گرفت که برای یک مطالعه و تحلیل شکستگی درست و دقیق از یک مخزن بهترین کار مطالعه همزمان مغزه و لاغ تصویری چاه ها می باشد به دلیل اینکه نقاط ضعف هم را پوشانند. اما با وجود مشکلات مغزه گیری و هزینه های آن، لاغ تصویری تا حد مورد قبولی پاسخگوی نیاز مطالعه خواهد بود.

## تشکر و قدردانی

از آقایان دکتر ندیمی، دکتر معلمی، دکتر پسندی و مهندس موحد بخاطر داوری مقاله سپاسگزاری می‌گردد. این مطالعه برگرفته از بخشی از پایان نامه کارشناسی ارشد خانم معصومه وطن دوست در دانشگاه اصفهان می‌باشد که انجام آن مورد حمایت شرکت ملی مناطق نفت خیز جنوب نیز واقع شد. لذا نگارندگان لازم می‌دانند از معاونت پژوهش و فناوری دانشگاه اصفهان و نیز شرکت ملی مناطق نفت خیز جنوب قدردانی نمایند.

## ۵. منابع فارسی

- شفیعی، ق.، اکبری، ک.، ۱۳۹۱، مطالعه و مدلسازی شکستگی‌های مخزن آسماری میدان بی‌بی حکیمه، شرکت ملی مناطق نفت‌خیز جنوب.
- محبی، ا.، شفیعی، م.، شکیب، م.س.، قزوینی، ا.، ۱۳۸۹، مطالعه و مدلسازی شکستگی‌ها در مخازن نفت و گاز. مجله اکتشاف و تولید، شماره ۸۳، صفحات ۲۰ تا ۲۶.
- مطیعی، ه.، ۱۳۷۴، زمین‌شناسی نفت زاگرس، انتشارات سازمان زمین‌شناسی کشور، ۵۸۹، ۵۸۹ صفحه.

-ABDOLLAHIE FARD, I., BRAATHEN, A., MOKHTARI, M., and ALAVI, S.A., 2006, Interaction of the Zagros Fold Thrust Belt and the Arabian-type, deep-seated folds in the Abadan Plain and the Dezful Embayment, SW Iran: *Pet. Geo sci.*, **12**, 347–362.

-AKBAR, M., SAFARKHANLOU, Z., and TAMIMI, M., 2003, Evaluation of Arab formation using FMI data, Balal field. *NIOC unpublished report. 1 & 2*.

-ALAVI, M., 1991, Sedimentary and structural characteristics of the paleo- Tethys remanent in NE Iran: *Geol. Soc. Am. Bull.*, **103**, 983- 992.

-ALAVI, M., 1994, Tectonics of the Zagros orogenic belt of Iran; new data and interpretations: *tectonophysics*, **229**, 211- 238.

-ALAVI, M., 2004, Regional stratigraphy of the Zagros fold-thrust belt of Iran and its proforeland evolution: *Am. J. Sci.*, **304**, 1–20.

-AZER, S., MACKENZIE, A., and THIEBOT, B., 2003, Observed fracturing in a Middle East oil well- a combined subsurface study. Paper SPE 81525. *Presented at the 13<sup>th</sup> Middle East Oil Show & Conference, Bahrain*.

-BARKER, S. N., and Speers, R.G., 1977, The geology of Asmari reservoir, Aghajari Field. v. 1, 2. *NIOC internal Report, No. P- 3319, Ahwaz*.

-BERBERIAN, M., 1995, Master blind thrust faults hidden under the Zagros folds: active basement tectonics and surface morphotectonics: *Tectonophysics*, **241**, 193-224.

-BERBERIAN, M., and KING, G.C.P., 1981, Paleogeography and tectonic evolution of Iran: *Can. J. Earth Sci.*, **18**, 210-265.

-DAVATZES, N.C., and HICKMAN, S., 2005, Comparison of acoustic and electrical image logs from the COSO Geothermal Field, CA. *Thirtieth Workshop on Geothermal Reservoir Engineering, SGP-TR-176*.

-DEWEY, J.F., PITMAN, W.C., RYAN, W.B.F., and BONNIN, J., 1973, Plate tectonics and the evolution of the Alpine System: *Geol. Soc. Am. Bull.*, **84**, 3137-3180.

- FALCON, N., 1969, Problems of relationship between surface structure and deep displacement illustrated by Zagros. In: Kent, P.E., Satterthawate, G.E., Spencer, A.M. (Eds.). Time and place in orogeny: *Geol. Soc. London Spec. Publ.*, **2**, 9-22.
- FALCON, N., 1974, Southern Iran: Zagros Mountains, In: A. M. Spencer (Editor), Mesozoic-Cenozoic Organic belts, data for orogenic studies: *Geol. Soc. London, Spec. Publ.*, **4**, 199-211.
- KAZEMI, K., 2009, Seismic imaging of thrust fault structures in Zagros Iranian oil fields, from subsurface and well data. *71st EAGE Conference & Exhibition- Amsterdam, The Netherlands*.43.
- KHOSHBAKHT, F., MEMARIAN, H., and MOHAMMADNIA, M., 2009, Comparison of Asmari, Pabdeh and Gurpi formation's fractures, derived from Image log: *J. Pet. Sci. Eng.*, **67**.
- KHOSHBAKHT, F., AZIZZADEH, M., MEMARIAN, H., NOUROZI, G.H., and MOALLEMI, S.A., 2012. Comparison of electrical Image log with core in a fractured carbonate reservoir: *J. Pet. Sci. Eng.*, **86-87**, 289-296.
- KULANDER, B.R., DEAN, S.L., and WARD, B.J.Jr., 1990, Fractured Core Analysis: Interpretation, logging, and Use of Natural and Induced Fractures in Core. Am. Assoc. Pet. Geol. Bull. Tulsa, OK: *AAPG Methods in Exploration Series*, **8**, 88.
- MCQUILLAN, H., 1985, Fractured- controlled production from the Oligo - Miocene Asmari formation in Gachsaran and Bibi Hakimeh fields. Southwest Iran, Carbonate Petroleum Reservoirs. *Springer-Verlag, New York, United States*, 511-523.
- MOHAMMADIAN, R., 2008, Geometrical analysis of Asmari reservoir Marun anticline. *National Iranian South Oil Company, report. P- 6281*.
- NELSON, R.A., 2001, Geologic analysis of naturally fracturd reservoirs. *Gulf publishing, Houston, Tx. Contr, In petrol. geology & Eng.*, **2nd ed.**, 332.
- PAULSEN, T.S., JARRAD, R.D., and WILSON, T.J., 2002, A simple method for orienting drill core by correlating features in whole-core scans and oriented borehole-wall imagery: *J. Struct. Geol.*, **24**, 1233-1238.
- SETUDEHNIA, A., 1978, The Mesozoic sequence in south- west Iran and adjacent areas: *J. Petrol. Geol.*, **1**, 3-42.
- SENGOR, A.M.C., 1984, The Cimmride orogenic system and the tectonic of Eurasia: *Geol. Soc. Spec. Pap.*, **195**, 88.
- SHERIDAN, J., KOVAC, K., ROSE, P.E., BARTON, C., MCCULLOCH, J., BERARD, B., MOORE, J., PETTY, S., and SPIELMAN, P., 2003, In situ stress, fracture and fluid flow analysis-East Flank of the Coso Geothermal Field: *Proceedings 28th Workshop on Geothermal Reservoir Engineering, Stanford Univ.*, 34-49.
- STÖCKLIN, J., 1968, Strutural history and tectonics of Iran: *AAPG bull.*, **52**, 1229- 1258.
- WENNBERG, O.P., AZIZZADEH, M., AQRAWI, A.A.M., BLANCE, E.P., BROCKBANK, K.B., LYSLO, Y.S., PICKARd, N., SALEML, L.D., and SVANA, T., 2007, The khaviz Anticline: an outcrop analogue to giant fractured Asmari Formation reservoirs in SW Iran: *Geol. Soc. London Spec. Publ.*, **270**, 23-42.

